



Raport

z badań poziomu natężenia pola elektrycznego
w otoczeniu stacji bazowej:

SWI3007

na podstawie sprawozdania P4/117/2023 udostępnionego przez A-CONNECT Anna Garwol-Porosa

Laboratorium prowadzące badania

A-CONNECT Anna Garwol-Porosa
Strażacka 3/2
58-370 Boguszów-Gorce
692 692 875

Zleceniodawca badań

P4 Sp. z o.o.

02-677 Warszawa
790 500 500
kontakt@play.pl

Nr akredytacji: AB 1284

Data wydania sprawozdania: 01.04.2023

Raport zawiera wybrane elementy sprawozdania i służy wyłącznie obrazowemu przedstawieniu informacji o danej instalacji. Raport nie może być wykorzystywany w postępowaniach administracyjnych.

Informacje ogólne

Zgodność z metodyką RMK: Tak

Ograniczenia: Na podstawie art. 122a ust. 1b ustawy Prawo ochrony środowiska (t.j. Dz.U. z 2020 r., poz. 1219, 1378, 1565, 2127, 2338, z 2021 r. poz. 802, 868, 1047, 1162, 1535.), pomiary PEM w lokalach mieszkalnych i użytkowych zlokalizowanych w obszarze pomiarowym badanej stacji bazowej nie zostały przeprowadzone.

Wykorzystanie w obszarze regulowanym: Tak

Przedmiot badań

Identyfikator stacji w UKE	SWI3007
Operator	P4 Sp. z o.o.
Współrzędne	16,5104444; 50,8343194
Rodzaj pracy	ciągła
Rodzaj wytwarzanego pola	stacjonarne

Miejsce badań

Otoczenie stacji bazowej SWI3007 w lokalizacji Świdnica, Składowa 3, dz. nr 1641.

Cel badań

1. Zweryfikowanie zgodności z wymaganiami rozporządzenia Ministra Zdrowia z dnia 19 grudnia 2019 r.

Opis stacji bazowych

Tabela 1: Opis anten badanych stacji bazowych

Lp.	Identyfikator stacji w UKE	Typ Producent anteny	Azymut	H	EIRP	Pasma	Tilt	Tilt w trakcie pomiarów
			[°]	[m]	[W]	[MHz]	[°]	[°]
1	SWI3007	ATR4518R11v06 Huawei	0	35,00	25059*	LTE 1800	0,0 - 10,0	5,0
						LTE 2100	0,0 - 10,0	5,0
						LTE 1800	0,0 - 10,0	5,0
						LTE 2100	0,0 - 10,0	5,0
						UMTS 900	0,0 - 10,0	5,0
2	SWI3007	ATR4518R11v06 Huawei	0	35,00	13523*	LTE 2600	0,0 - 10,0	5,0
						LTE 800	0,0 - 10,0	5,0
						LTE 2600	0,0 - 10,0	5,0
3	SWI3007	ATR451607 Huawei	100	49,00	24667*	UMTS 900	0,0 - 10,0	5,0
						LTE 2100	0,0 - 10,0	5,0
						LTE 1800	0,0 - 10,0	5,0
						LTE 2100	0,0 - 10,0	5,0
4	SWI3007	ATR451607 Huawei	100	49,00	12780*	LTE 800	0,0 - 10,0	5,0
						LTE 2600	0,0 - 10,0	5,0
						LTE 2600	0,0 - 10,0	5,0
5	SWI3007	ATR451607 Huawei	210	49,00	24667*	UMTS 900	0,0 - 10,0	5,0
						LTE 2100	0,0 - 10,0	5,0
						LTE 1800	0,0 - 10,0	5,0
						LTE 2100	0,0 - 10,0	5,0
6	SWI3007	ATR451607 Huawei	210	49,00	12780*	LTE 800	0,0 - 10,0	5,0
						LTE 2600	0,0 - 10,0	5,0
						LTE 2600	0,0 - 10,0	5,0

* moc EIRP łączna dla wszystkich częstotliwości anteny

Warunki pomiarów

Pomiary w wyznaczonych punktach wykonano w następujących warunkach:

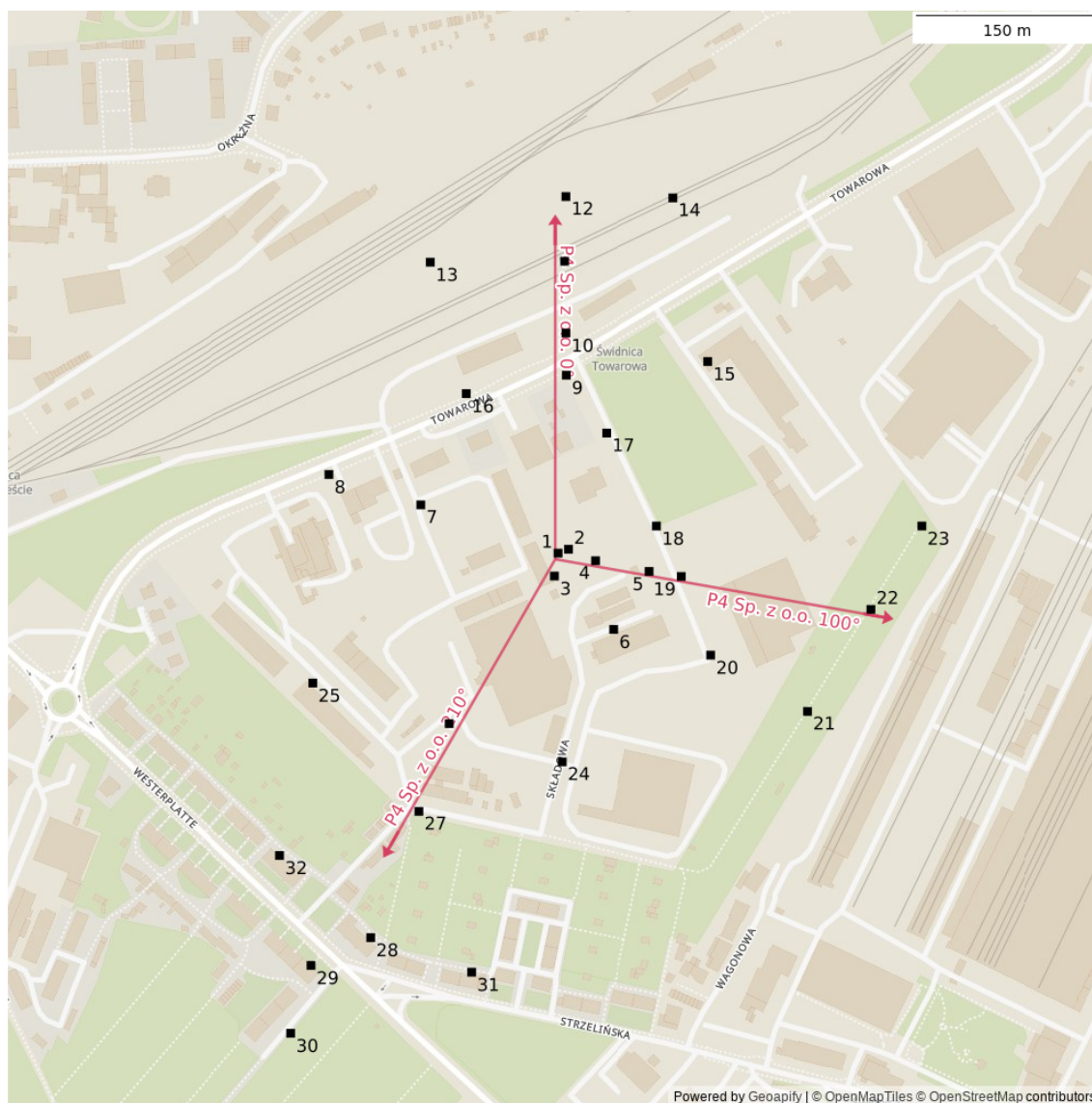
28.03.2023 14:15-16:00			
Warunki środowiskowe	Temperatura [°C]	Wilgotność [%]	Opady
Minimalna	1,7	71,3	brak
Maksymalna	1,9	72,4	

Aparatura

Tabela 2: Aparatura

MIERNIKI I SONDY					
Lp.	Typ / Nazwa	Model	Producent	Próg detekcji	Świadectwo wzorcowania
1a	miernik	NBM-520	Narda		LWiMP/W/069/22 z dn. 08.03.2022 wydane przez LWiMP Politechniki Wrocławskiej
1b	sonda	EF6091	Narda	0,50	
POZOSTAŁE					
Lp.	Typ / Nazwa	Model	Producent	Świadectwo wzorcowania	
2	termohigrometr	P330	DOSTMANN	47102/2016 z dn. 28.11.2016 wydane przez LAB-EL ELEKTRONIKA LABORATORYJNA ANDRZEJ ŁOBZOWSKI, MARIA ŁOBZOWSKA SP. J.	

Lokalizacje pionów pomiarowych



Rysunek 1: Plan terenu

Dodatkowe informacje o punktach

punkt 28: GKP 210° - okno korytarza - I/II p., ul. Westerplatte 99

punkt 29: GKP 210° - okno korytarza - I/II p., ul. Westerplatte 108

punkt 31: PKP 210° - okno korytarza - parter/I p., ul. Strzelińska 7

punkt 32: PKP 210° - okno korytarza - I/II p., ul. Westerplatte 93

Wyniki pomiarów szerokopasmowych

Tabela 3: Zestawienie lokalizacji pionów pomiarowych oraz wyników pomiarów natężenia pola elektrycznego, pomiary szerokopasmowe

Nazwa	Data	Współrzędne geograficzne	E	WM _E	H	WM _H
		[°]	[$\frac{V}{m}$]		[$\frac{A}{m}$]	
1	28.03.2023	16,5104780 50,8343640	1,22	0,044	0,003	0,044
2	28.03.2023	16,5105990 50,8343930	1,62	0,058	0,004	0,059
3	28.03.2023	16,5104350 50,8341950	1,22	0,044	0,003	0,044
4	28.03.2023	16,5109150 50,8343080	1,49	0,053	0,004	0,054
5	28.03.2023	16,5115400 50,8342290	1,08	0,039	0,003	0,039
6	28.03.2023	16,5111270 50,8338020	1,08	0,039	0,003	0,039
7	28.03.2023	16,5088740 50,8347200	0,95	0,034	0,003	0,035
8	28.03.2023	16,5078010 50,8349440	1,08	0,039	0,003	0,039
9	28.03.2023	16,5105740 50,8356760	2,70	0,096	0,007	0,098
10	28.03.2023	16,5105690 50,8359870	2,84	0,101	0,008	0,103
11	28.03.2023	16,5105530 50,8365160	3,79	0,135	0,010	0,138
12	28.03.2023	16,5105690 50,8369930	3,52	0,126	0,009	0,128
13	28.03.2023	16,5089850 50,8365090	3,24	0,116	0,009	0,118
14	28.03.2023	16,5118180 50,8369830	3,38	0,121	0,009	0,123
15	28.03.2023	16,5122250 50,8357770	2,16	0,077	0,006	0,078
16	28.03.2023	16,5094050 50,8355400	1,49	0,053	0,004	0,054
17	28.03.2023	16,5110460 50,8352490	2,30	0,082	0,006	0,084
18	28.03.2023	16,5116260 50,8345640	1,22	0,044	0,003	0,044
19	28.03.2023	16,5119160 50,8341920	1,22	0,044	0,003	0,044
20	28.03.2023	16,5122590 50,8336120	1,08	0,039	0,003	0,039
21	28.03.2023	16,5133910 50,8331970	1,08	0,039	0,003	0,039
22	28.03.2023	16,5141310 50,8339490	1,35	0,048	0,004	0,049

Ciąg dalszy na następnej stronie

Tabela 3: Zestawienie lokalizacji pionów pomiarowych oraz wyników pomiarów natężenia pola elektrycznego, pomiary szerokopasmowe (c.d.)

Nazwa	Data	Współrzędne geograficzne	E	WM _E	H	WM _H
		[°]	[$\frac{V}{m}$]		[$\frac{A}{m}$]	
23	28.03.2023	16,5147260 50,8345640	1,22	0,044	0,003	0,044
24	28.03.2023	16,5105260 50,8328250	1,22	0,044	0,003	0,044
25	28.03.2023	16,5076130 50,8334060	1,35	0,048	0,004	0,049
26	28.03.2023	16,5092060 50,8331070	1,49	0,053	0,004	0,054
27	28.03.2023	16,5088520 50,8324600	1,49	0,053	0,004	0,054
28	28.03.2023	–	2,30	0,082	0,006	0,084
29	28.03.2023	–	2,03	0,073	0,005	0,074
30	28.03.2023	16,5073540 50,8308240	1,22	0,044	0,003	0,044
31	28.03.2023	–	1,76	0,063	0,005	0,064
32	28.03.2023	–	2,16	0,077	0,006	0,078

Podsumowanie

Na podstawie wyników pomiarów pola elektromagnetycznego przedstawionych w niniejszym raporcie o nr P4/117/2023 opracowanym przez A-CONNECT Anna Garwol-Porosa stwierdza się, że w otoczeniu stacji bazowej SWI3007 dopuszczalne poziomy pól elektromagnetycznych w środowisku, określone w przepisach wydanych na podstawie art. 122 ust. 1 ustawy z dnia 27 kwietnia 2001 r. – Prawo ochrony środowiska uznaje się za **dotrzymane**. Udokumentowano, że w żadnym pionie pomiarowym wartości wskaźnikowe WM_E oraz WM_H nie przekroczyły 1.

Osoby odpowiedzialne

Wykonanie pomiarów: b.d.

Opracowanie sprawozdania: b.d.

Autoryzacja sprawozdania: Marcin Łazuta (Kierownik techniczny)